

Criptografía con RNA

Trabajo Fin de Grado

Melisa Belmonte Jiménez

Facultad de Ciencias Matemáticas
Universidad Complutense de Madrid



Índice

- 1 Introducción
- 2 Criptografía
- 3 Redes Neuronales
- 4 Criptografía con RNA no sincronizadas
- 5 Criptografía con RNA sincronizadas
- 6 Conclusiones

Índice

- 1 **Introducción**
- 2 Criptografía
- 3 Redes Neuronales
- 4 Criptografía con RNA no sincronizadas
- 5 Criptografía con RNA sincronizadas
- 6 Conclusiones

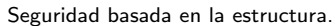
Introducción

- **Polivalencia** de Redes Neuronales → Criptografía
- Métodos actuales: teoría de números.
- **Seguridad**: complejidad computacional alta de problemas → Computación cuántica.
- Imitación de redes → **Redes Neuronales Caóticas**

Índice

- 1 Introducción
- 2 **Criptografía**
 - Criptografía con caos
- 3 Redes Neuronales
- 4 Criptografía con RNA no sincronizadas
- 5 Criptografía con RNA sincronizadas
- 6 Conclusiones

Seguridad basada en el secretismo de la clave.



Criptografía con caos

Comportamiento aparentemente aleatorio dado por funciones relativamente simples.

Usos principales han sido:

- Simular **ruido** en las comunicaciones
- Crear **claves** aleatorias
- Definir **funciones hash** más seguras.

Característica caótica	Propiedad criptográfica	Descripción
Ergodicidad Topológicamente transitivo	Confusión	Las salidas de distintas entradas no parecen tener relación
Sensibilidad a las condiciones iniciales	Difusión	Una pequeña diferencia en la entrada da una salida muy distinta.
Determinístico	Pseudo-aleatoriedad determinística	Resultados aparentemente aleatorios, que son determinísticos.
Complejidad	Complejidad algorítmica	Un algoritmo simple produce salidas complejas.

Definición

Ergodicidad: Propiedad de un sistema que sugiere que un punto del mismo visitará todas las partes del espacio en el que se mueve

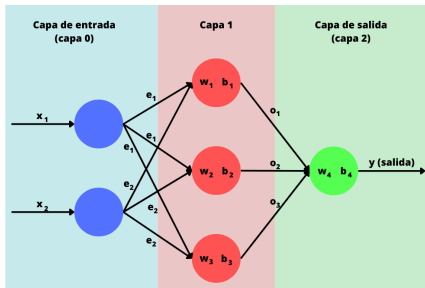
Definición

Una función $f : X \mapsto Y$ es **topológicamente transitiva** si para todo par de conjuntos abiertos no vacíos $U, V \subset X$ existe un $n \in \mathbb{N}$ tal que $f^{-n}(U) \cap V \neq \emptyset$

Índice

- 1 Introducción
- 2 Criptografía
- 3 **Redes Neuronales**
 - RNA Recurrentes
- 4 Criptografía con RNA no sincronizadas
- 5 Criptografía con RNA sincronizadas
- 6 Conclusiones

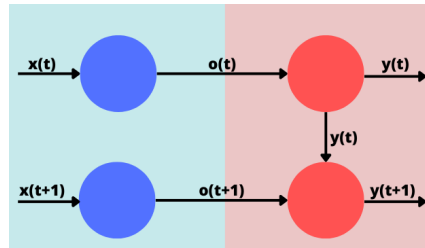
Redes Neuronales



Propagación hacia delante

- Transmisión lineal
- Estructura de capas

$$F(x) = \sigma(W_N \cdot \sigma(\dots \sigma(W_1 \cdot x + b_1) \dots) + b_N)$$

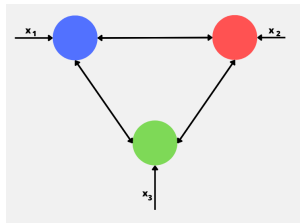


Recurrentes

- Memoria
- Transmisión no lineal

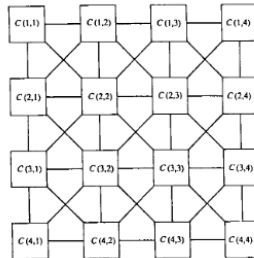
$$\frac{\partial x(t)}{\partial t} = -x(t) + W\sigma(x(t)) + I(t)$$

RNA Recurrentes



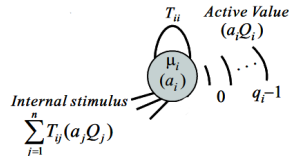
Hopfield

- Aprenden unos patrones.
- Salida: patrón más similar a la entrada.



Celulares

- Procesamiento paralelo.
- Localmente conectadas.



Q'tron

- Minimización de función energía.
- Neuronas fijas y libres.

Índice

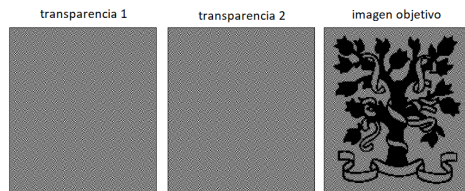
- 1 Introducción
- 2 Criptografía
- 3 Redes Neuronales
- 4 Criptografía con RNA no sincronizadas
 - Criptografía Visual
- 5 Criptografía con RNA sincronizadas
- 6 Conclusiones

Criptografía con RNA no sincronizadas

Usos:

- Red o conjunto de entrenamiento como **clave privada**
 - Sistemas **robustos**
 - **Claves muy grandes**
- Imitar **funciones**
 - + **rápido** que los métodos de aproximación
- Secuencias **pseudoaleatorias**
 - Con RN de Hopfield y RN Celulares

Criptografía Visual



-
- O : **Imagen objetivo** - 1 Neurona fija/pixel
- T_i : **Transparencia i** - 1 Neurona libre/pixel
- y_{ij}^x la salida de la neurona correspondiente al pixel en posición ij en la imagen $x \in \{O, T_1, T_2\}$
-

$$\mathbb{E}(\Theta) = \frac{1}{2} \sum_{(o, t_1, t_2) \in \Theta} E(y_o, y_{t_1}, y_{t_2})$$

t_1	t_2	o	E
0	0	0	0
		1	2,25
0	1	1	0,25
		0	1
1	0	1	0,25
		0	1
1	1	1	0,25
		0	4

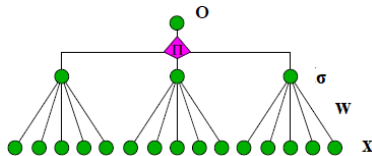
$$E(o, t_1, t_2) = (1,5o - (t_1 + t_2))^2$$

Índice

- 1 Introducción
- 2 Criptografía
- 3 Redes Neuronales
- 4 Criptografía con RNA no sincronizadas
- 5 **Criptografía con RNA sincronizadas**
 - Árbol de Paridad (AP)
 - Criptoanálisis
 - Mejoras
- 6 Conclusiones

Criptografía con RNA sincronizadas

Árbol de Paridad



$$o_i = \begin{cases} \text{sign}(x_i^T \cdot w_i) & \text{si } x_i^T \cdot w_i \neq 0 \\ a & \text{si } x_i^T \cdot w_i = 0 \end{cases}$$

Con $a \in \{-1, 1\}$ fijo

Salida final: $o = \prod_{i=1}^K o_i$

RN Recurrentes

2 condiciones:

- $0 \leq \frac{\sigma_i(x) - \sigma_i(y)}{x - y} \leq h_i$ y $0 \leq \frac{\tilde{\sigma}_i(x) - \tilde{\sigma}_i(y)}{x - y} \leq k_i$ para $x \neq y$ y ciertos h_i y k_i .

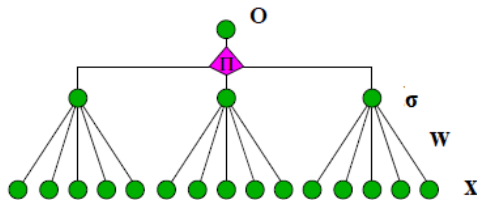
- $\tau(t) \geq 0$ función derivable que cumple $0 \leq \tau(t) \leq \mu < 1 \forall t$

$$\frac{\partial x(t)}{\partial t} = -Cx(t) + A\sigma(x(t)) + B\tilde{\sigma}(x(t - \tau(t))) + I$$

$$\frac{\partial y(t)}{\partial t} = -Cy(t) + A\sigma(y(t)) + B\tilde{\sigma}(y(t - \tau(t))) + \varepsilon \odot (y(t) - x(t))$$

Árbol de Paridad (AP)

Árbol de Paridad



$$o_i = \begin{cases} \text{sign}(x_i^T \cdot w_i) & \text{si } x_i^T \cdot w_i \neq 0 \\ a & \text{si } x_i^T \cdot w_i = 0 \end{cases}$$

Con $a \in \{-1, 1\}$ fijo

Salida final: $o = \prod_{i=1}^K o_i$

Funciones de Activación:

- Hebbian: $\sigma(o_i) = o_i$
- Anti-Hebbian: $\sigma(o_i) = -o_i$
- Paseo Aleatorio (*Random Walk*): $\sigma(o_i) = 1$

Cálculo del peso

$$w_i^+ = w_i + \frac{\eta}{N} \cdot \sigma(o_i) \cdot x \quad \forall i \in \{1 \dots K\}$$

η_i : la tasa de aprendizaje

N : dimensión del peso

f : función de aprendizaje

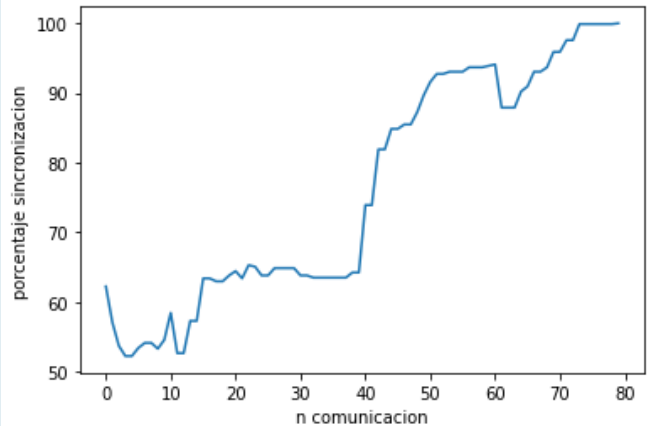
o_i : salida obtenida en el perceptrón i

o' : salida de la otra red

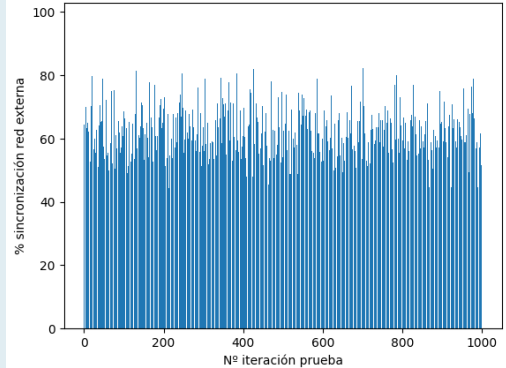
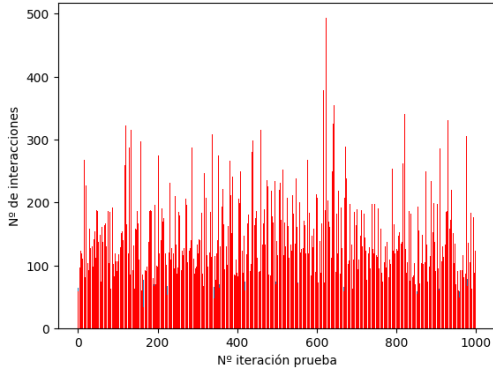
x : entrada.

Implementación

- 5 neuronas de entrada.
- Pesos de dimensión 10.
- Pesos acotados por 10.



Ataque por fuerza bruta



Ataque Probabilístico

- **Probabilístico:**

$$P(o_k = 1|o) = \frac{\sum_{(\alpha_1, \dots, \alpha_k), \prod_{i=1}^k \alpha_i = 0} \prod_{i=1}^k p_i(\alpha_i)}{\sum_{(\alpha_1, \dots, \alpha_k), \prod_{i=1}^k \alpha_i = 1} \prod_{i=1}^k p_i(\alpha_i)}$$

- **Geométrico:** Hiperplanos $X_i : \sum_{j=1}^N x_{ij} z_j = 0$ en $U = \{-L, \dots, L\}^N$, con los pesos como puntos. o_i el lado del hiperplano X_i en el que está W_i
- **Genético:** Usa una población de redes.

Ataque Geométrico

- **Probabilístico:** $P(o_k = 1|o) = \frac{\sum_{(\alpha_1, \dots, \alpha_k), \prod_{i=1}^k \alpha_i = 0 \vee \alpha_k = 1} \prod_{i=1}^k p_i(\alpha_i)}{\sum_{(\alpha_1, \dots, \alpha_k), \prod_{i=1}^k \alpha_i = 0} \prod_{i=1}^k p_i(\alpha_i)}$

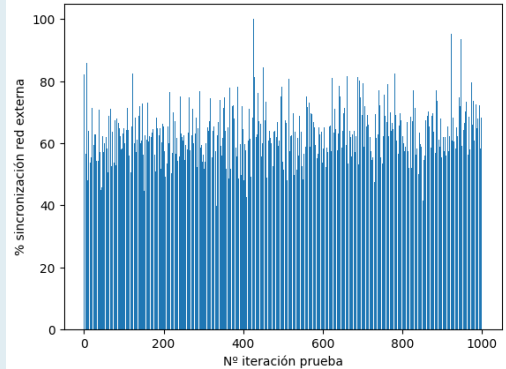
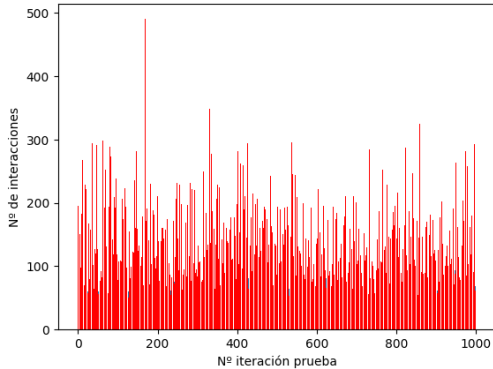
- **Geométrico:**

Hiperplanos $X_i : \sum_{j=1}^N x_{ij} z_j = 0$ en $U = \{-L, \dots, L\}^N$
 o_i el lado del hiperplano X_i en el que está W_i

- $\mathbf{o}^A \neq \mathbf{o}^B$: A y B no cambian, luego C tampoco.
- $\mathbf{o}^A = \mathbf{o}^B = \mathbf{o}^C$: Se actualiza C de la forma habitual.
- $\mathbf{o}^A = \mathbf{o}^B \neq \mathbf{o}^C$: Se cambia $o_{i_0}^C = -o_{i_0}^C$
 $(i_0 = \text{indmin}|\sum_{j=0}^N w_{ij}^C \cdot x_{ij}|)$ y luego se actualiza con \mathbf{o}^A .

- **Genético:** Usa una población de redes.

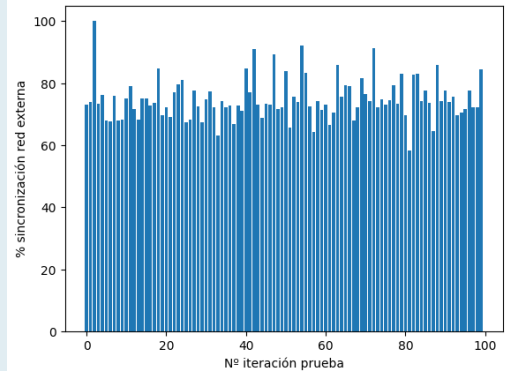
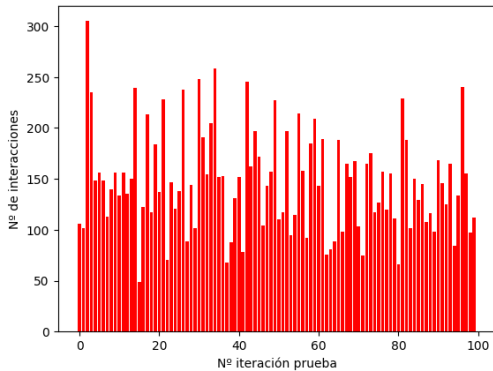
Ataque Geométrico



Ataque Genético

- **Probabilístico:** $P(o_k = 1|o) = \frac{\sum_{(\alpha_1, \dots, \alpha_k), \prod_{i=1}^k \alpha_i = 0} \prod_{i=1}^k p_i(\alpha_i)}{\sum_{(\alpha_1, \dots, \alpha_k), \prod_{i=1}^k \alpha_i = 0} \prod_{i=1}^k p_i(\alpha_i)}$
- **Geométrico:** Hiperplanos $X_i : \sum_{j=1}^N x_{ij} z_j = 0$ en $U = \{-L, \dots, L\}^N$, con los pesos como puntos. o_i el lado del hiperplano X_i en el que está W_i
- **Genético:** Límite de M redes, inicia una población aleatoria reducida.
 - $\mathbf{o}^A \neq \mathbf{o}^B$: A y B no cambian, luego la población tampoco.
 - $\mathbf{o}^A = \mathbf{o}^B$ y hay **menos de M redes**: Se eliminan las redes con salida distinta, se multiplican las iguales.
 - $\mathbf{o}^A = \mathbf{o}^B$ y hay **M redes o más**: Se eliminan las redes con salidas distintas, se actualizan el resto de la forma habitual.

Ataque Genético

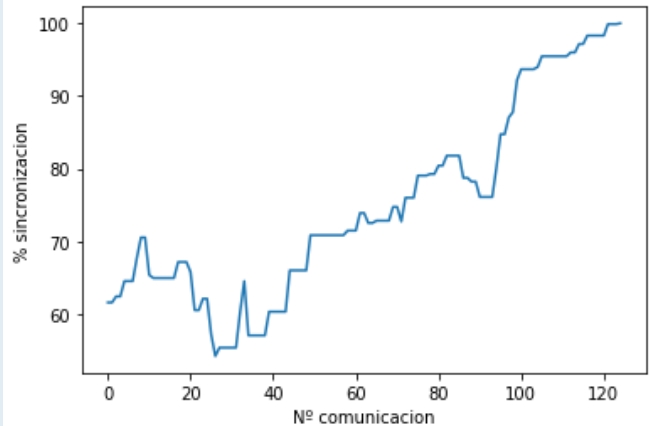


Mejoras

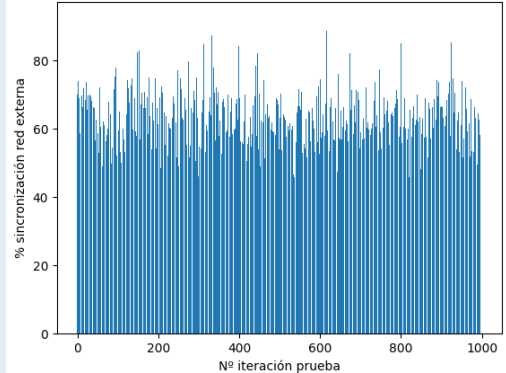
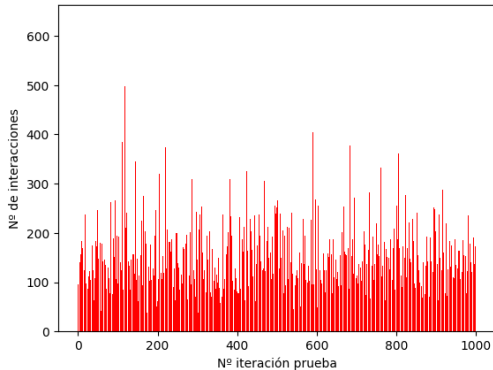
- Mapa caótico.
- Pesos discretos.
- Normalización de los pesos.
- Método para comprobar la sincronización.

Implementación

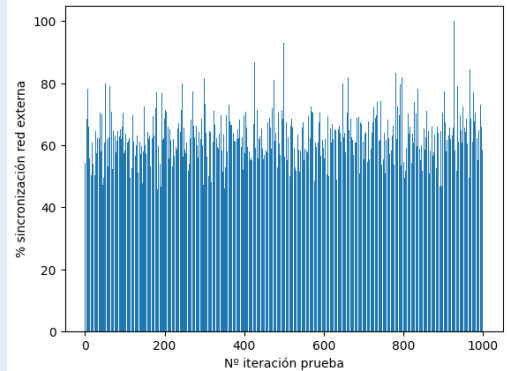
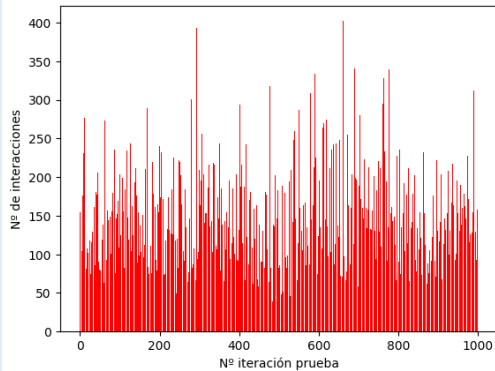
- 5 neuronas de entrada.
- Pesos de dimensión 10.
- Pesos acotados por 10.
- Mapa logístico.



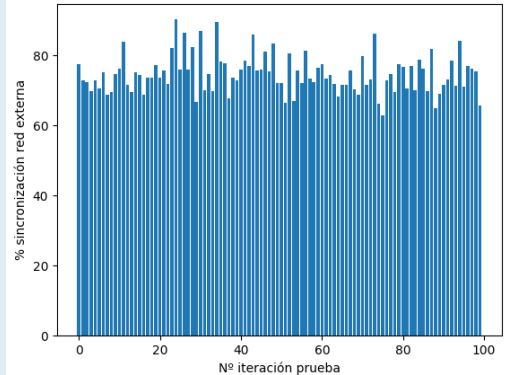
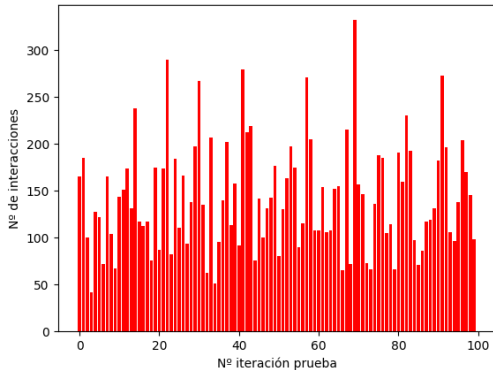
Ataque por fuerza bruta



Ataque Geométrico



Ataque Genético



Índice

- 1 Introducción
- 2 Criptografía
- 3 Redes Neuronales
- 4 Criptografía con RNA no sincronizadas
- 5 Criptografía con RNA sincronizadas
- 6 Conclusiones

Conclusiones

Alternativa a los métodos dependientes de la potencia de los ordenadores.

Destaca el Árbol de Paridad

Mejoras Árbol de Paridad:

Método para comprobar la sincronización.

Cambios en su estructura para reducir interacciones.